

ΨΗΦΙΑΚΕΣ ΕΠΙΚΟΙΝΩΝΙΕΣ ΣΕ ΚΑΝΑΛΙΑ

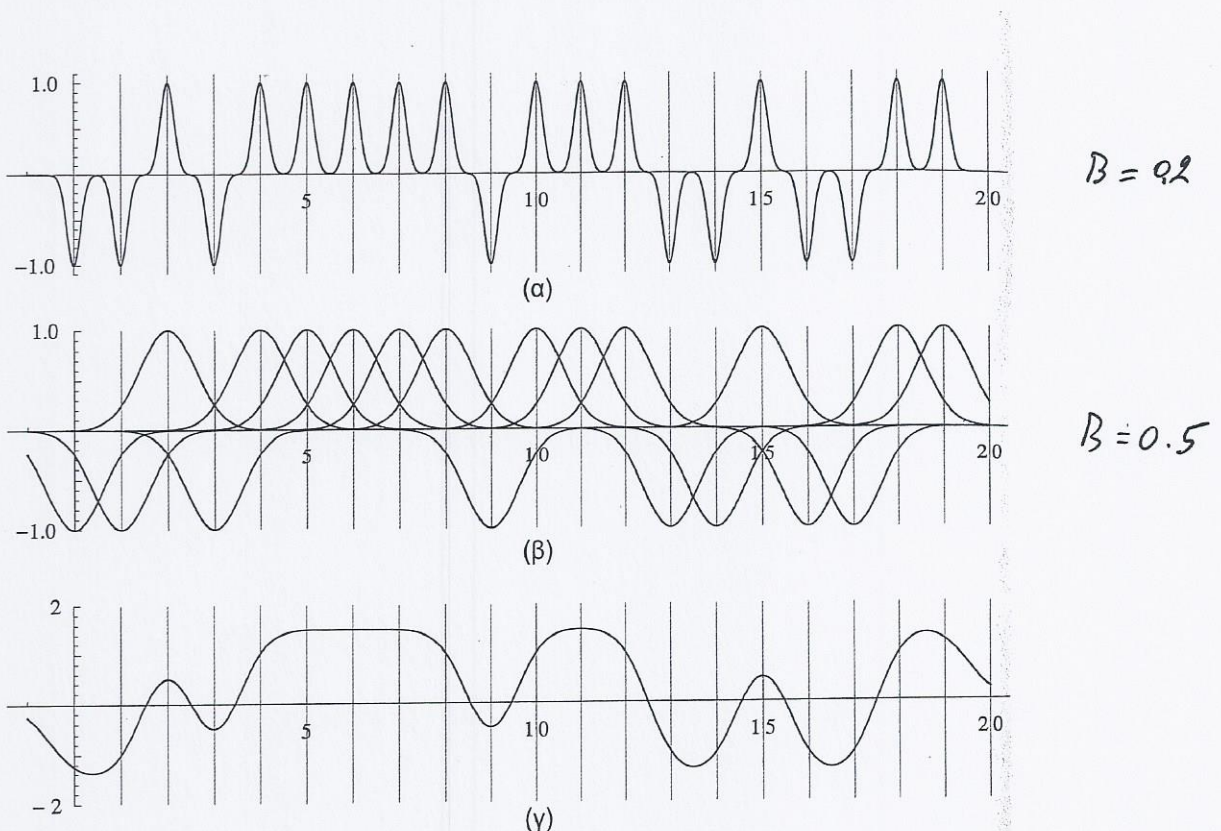
ΜΕ ΔΙΑΣΥΜΒΟΛΙΚΗ ΠΑΡΕΜΒΟΛΗ

(ΚΕΦ. 9)

- Μεχρι τηρη το μαντζι επικοινωνίας μετα
AWGN χωρις πρόσθιο των εγγους jams
δηλ. χωρις πρόσθιων των γεφενόμενων δυάλων.
- Τύποι: Bandlimited channels
- Πρόσθιων των γεφενόμενων δυάλων (ήχους
ε φων). - μαντζικές διαστογές (dispersive
channels)
- $r(t) = s(t) * h(t) + n(t)$
- $h(t)$: προνότιμη συνάρτηση της λειτουργίας
 $s(t)$: μεταδόσεως δύλ
 $n(t)$: AWGN
- $h(t)$ είναι σε LPF \rightarrow $s(t)$ αρχικά χρησιμ
ηγετικό την πρώτο των δυάλων.

(9-2)

• Intersymbol Interference (ISI) Διασυμβολική Πρόσφυγη



Σχήμα 9.1: Ακολουθία συμβόλων BPAM (α) Απουσία ISI (β) Δημιουργία ISI
(γ) Υπέρθεση των σημάτων του β

$$g(t) = \exp\left(-\frac{t^2 \log 2}{2B^2}\right)$$

- Gaussian pulse
- B controls the pulse width

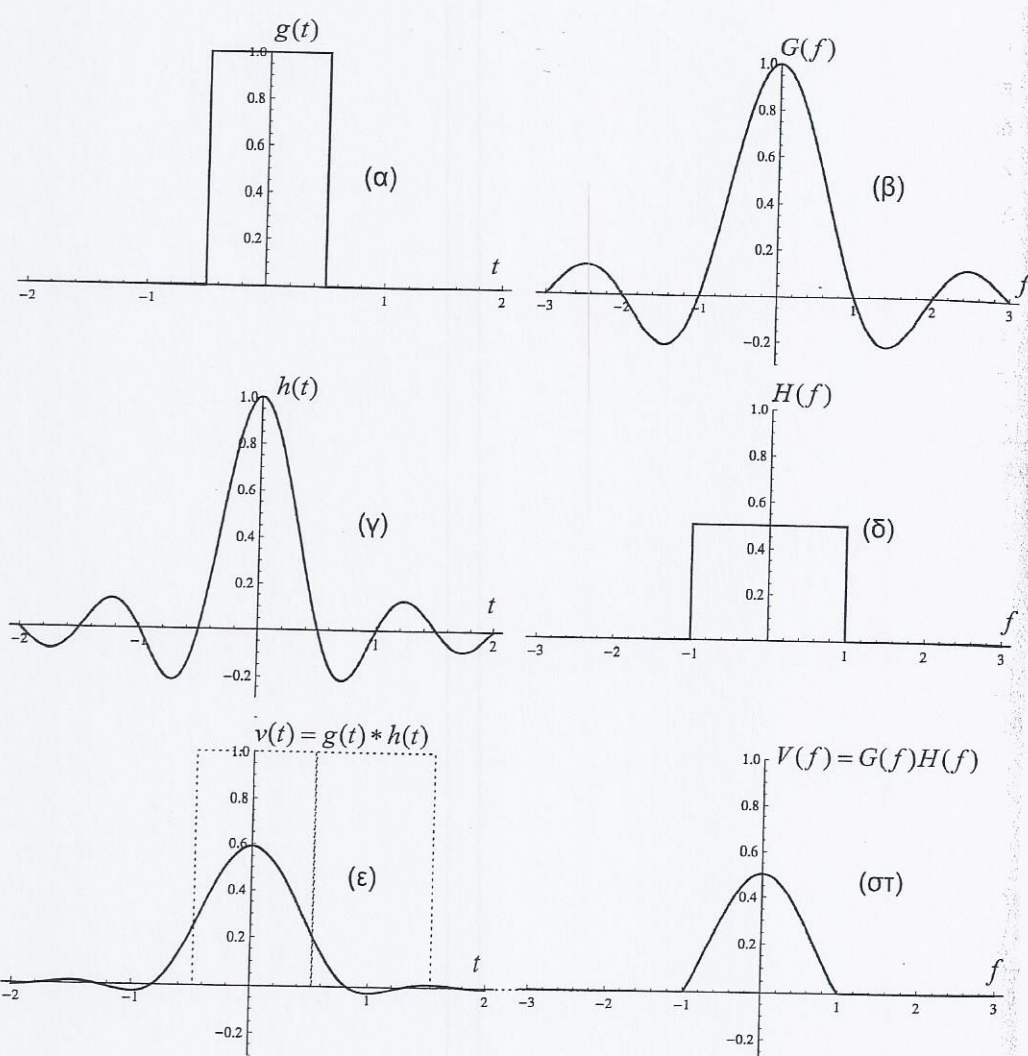
(9-3)

Παραδείγμα 9.1

$$g(t) = \Pi(t)$$

$$h(t) = \text{sinc}(2t)$$

$$\text{Find } r(t) = g(t) * h(t) \Leftrightarrow R(f) = G(f) \cdot H(f)$$



Σχήμα 9.2: Παραμόρφωση του παλμού $g(t)$ μετά τη διέλευση από κανάλι με κρούστική απόκριση $h(t)$

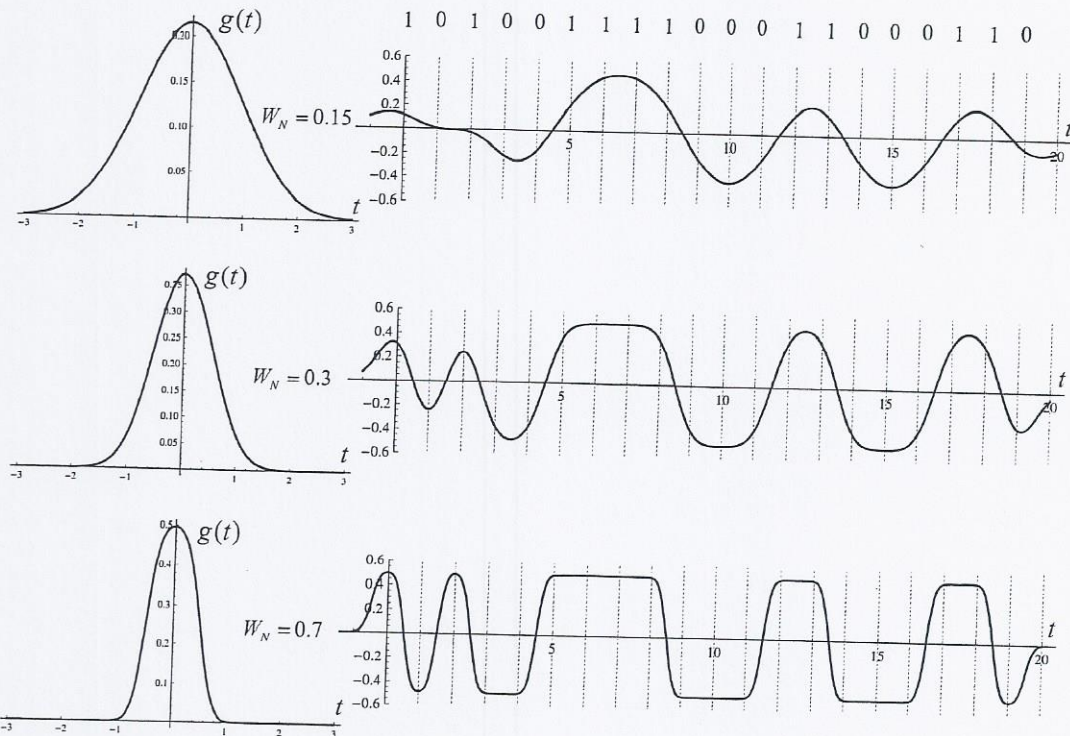
ΙΣΤΟΥ οφείται σω μάθητι το οποίο ονοίλας
μοντελοποίησε ως φίγαρο

Παράδειγμα 9.2

Να σχεδιαστεί η κυματομορφή στο χρόνο μίας ακολουθίας συμβόλων BPAM που δημιουργείται από Gaussian φίλτρο με χρονιστική απόκριση.

$$g(t) = \frac{1}{2T_b} \left[Q\left(2\pi W \frac{t - \frac{T_b}{2}}{\sqrt{\log 2}}\right) - Q\left(2\pi W \frac{t + \frac{T_b}{2}}{\sqrt{\log 2}}\right) \right], \quad (9.5)$$

Να θεωρήσετε διάφορες τιμές του κανονικοποιημένου εύρους ζώνης $W_N = WT_b$ με $T_b = 1$.



Σχήμα 9.3: BPAM με Gaussian παλμούς

ISI Analysis

$$s(t) = \sum_{n=-\infty}^{\infty} a_n g_r(t - nT)$$

M-ary PAM

T: symbol duration

$g_r(t)$: Tx filter impulse response. (IR)

At the receiver

$$r(t) = \sum_{n=-\infty}^{\infty} a_n v(t - nT) + n(t) \quad v(t) = g_r(t) * h(t)$$

$h(t)$: channel IR

$n(t)$: AWGN, $\sigma^2 = \frac{N_0}{2}$

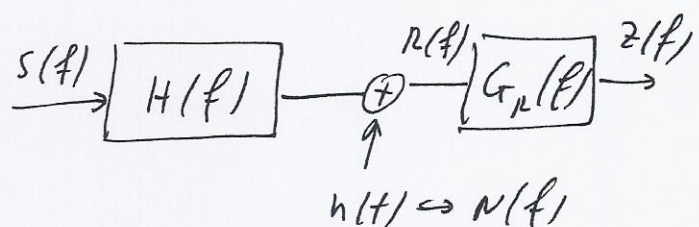
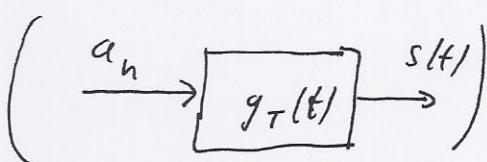
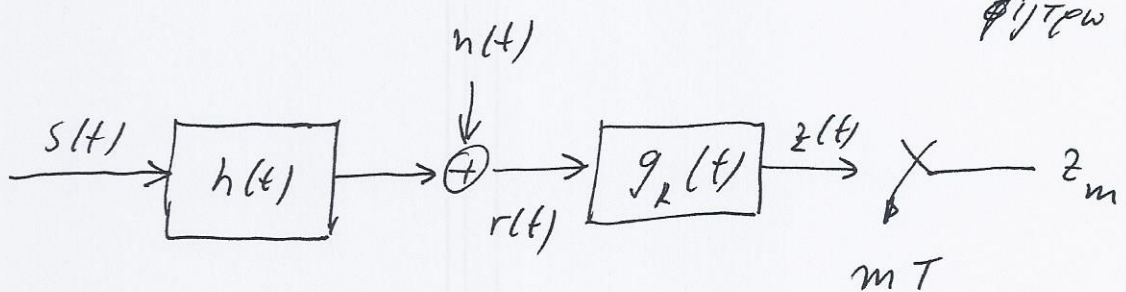
Aft. the MF

$$z(t) = \sum_{n=-\infty}^{\infty} a_n x(t - nT) + n(t) \quad x(t) = v(t) * g_R(t)$$

$n(t)$: AGN

$$\sigma^2 = \frac{N_0}{2} \epsilon_g$$

ϵ_g : envelope correlation function $g_R(t)$



$$z_m = a_m x_0 + \sum_{n=-\infty}^{\infty} a_n x_{m-n} + n_m = a_m x_0 + \sum_{\substack{n=-\infty \\ n \neq m}}^{\infty} a_{m-n} x_n + n_m$$

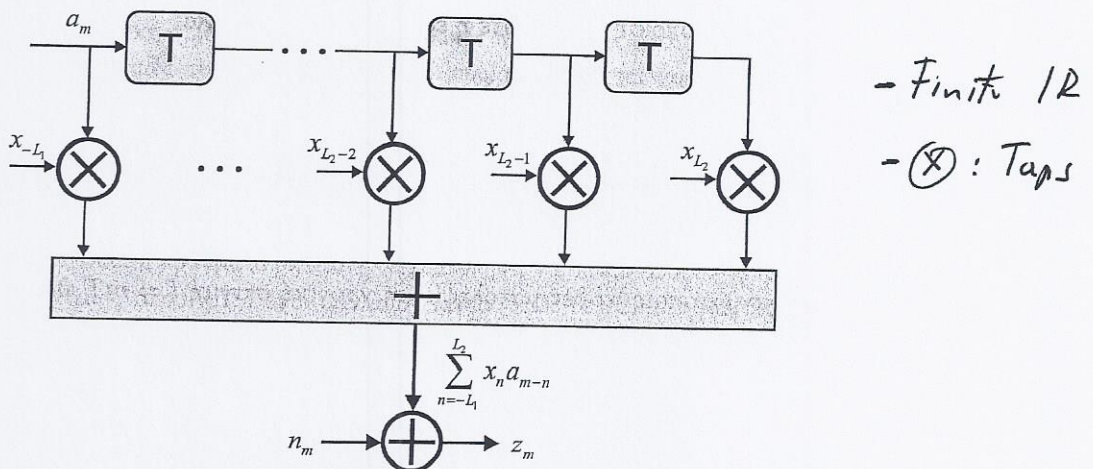
$x_{m-n} = x(mT - nT)$; n_m is a Gaussian RV
 $x_0 = x(0)$

- Επιδεινωμένη Συρθύση $\rightarrow a_m x_0$

- ISI $\rightarrow \sum_{\substack{n=-\infty \\ n \neq m}}^{\infty} a_{m-n} x_n$

- Άντα $x_n = 0$ για $n < -L_1$ & $n > L_2$

$$z_m \approx \sum_{n=-L_1}^{L_2} a_{m-n} x_n (+ n_m)$$



Σχήμα 9.4: Ισοδύναμο φίλτρο καναλιού διαχριτού χρόνου

(9-7)

- Av M-PAM ($\mu c M > 2$) \Rightarrow n symbols τω φήμου μηδενικής ή δεξιότητος σε σύγχρονη πληροφορίας μετάδοση (finite state machine) (+ AWGN)
- Μεγάλη μηδενικής $L_1 + L_2$ ουσιώς ανεπιθύμητης πληροφορίας.
- Trellis diagram $M^{L_1 + L_2}$ states (similar to CPM).
- If 1D block diagram representation of the corresponding M-PAM

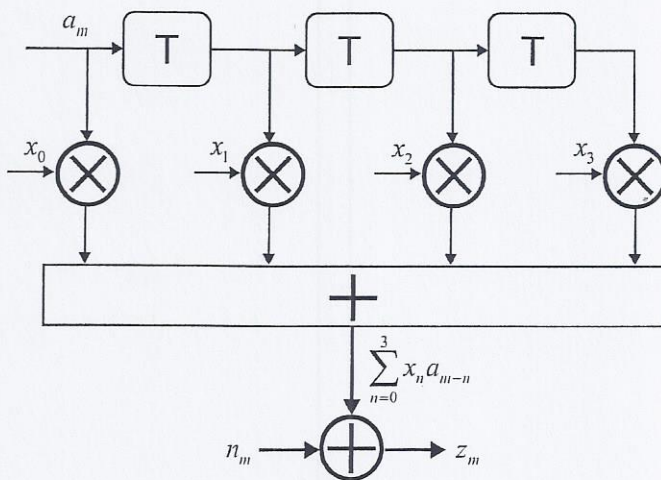
$$s(t) = \left[\sum_n a_n g_T(t-nT) \right] \cos(2\pi f_c t)$$

$$r(t) = \left[\sum_n a_n v(t-nT) \right] \cos(2\pi f_c t) + n(t)$$

- Anticipating ISI
 - Nyquist pulses (filter) with ϕ ISI
 - Equalization (1000ms delay)

Παράδειγμα 9.3

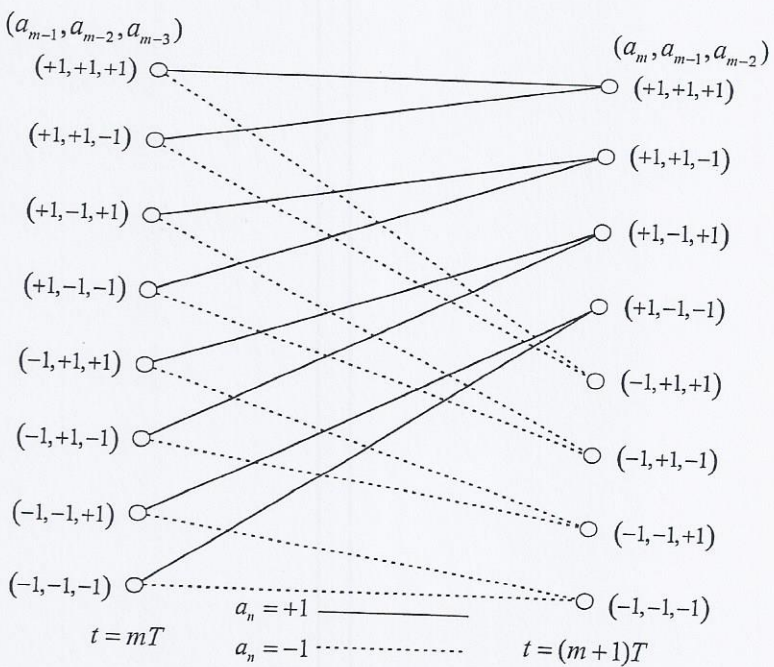
Να σχεδιαστεί η μηχανή πεπερασμένων καταστάσεων και το διάγραμμα Trellis, ενός συστήματος στο οποίο εισάγεται ISI, όταν το φίλτρο διαχριτού χρόνου που αναπαριστά την απόχριση του καναλιού αποτελείται από τέσσερα taps και τα σύμβολα λαμβάνουν τις τιμές ± 1 .



Σχήμα 9.5: Ισοδύναμο φίλτρο καναλιού με τέσσερα taps

Λύση

$$L_1 = 0, \quad L_2 = L \rightarrow 4 \text{ taps} \Rightarrow L = 3 \rightarrow \\ \text{Διάγραμμα Trellis } M^L = 2^3 = 8 \text{ states.}$$



Σχήμα 9.6: Διάγραμμα καταστάσεων Trellis

Παράδειγμα 9.4

Οι τιμές δειγματοληψίας και οι αντίστοιχες πιθανότητες λήψης ενός συστήματος BPAM δίνονται ως

$$z_m = \begin{cases} a_m + q + n_m \rightarrow \frac{1}{4} \\ a_m - q + n_m \rightarrow \frac{1}{4} \\ a_m + n_m \rightarrow \frac{1}{2}, \end{cases} \quad (9.14)$$

όπου η παράμετρος q εκφράζει την εισαγόμενη ISI, n_m είναι Gaussian τυχαία μεταβλητή με διακύμανση $\sigma^2 = \frac{N_0}{2} = 1$ και $a_m = \pm A$ ανάλογα αν έχει σταλεί το bit 1 ή το 0.

Αν το A μπορεί να πάρει μία από τις τιμές 1, 2, 3 και 4 ποια τιμή θα επιλέγατε για το A , ώστε αν το ποσοστό της ISI είναι 10% του μεταδιδόμενου συμβόλου η μέση πιθανότητα σφάλματος να μην υπερβαίνει την τιμή 1.7×10^{-3} ;

Απάντηση

Όταν δεν υπάρχει ISI, δηλαδή $z_m = a_m + n_m$ τότε η πιθανότητα σφάλματος θα είναι

$$P_{e1} = Q\left(\sqrt{\frac{2E_b}{N_0}}\right) = Q\left(\frac{A}{\sigma}\right) = Q(A). \quad (9.15)$$

Όταν $z_m = a_m + q + n_m$ τότε

$$P_{e2} = Q\left(\frac{A+q}{\sigma}\right) = Q(A+q), \quad (9.16)$$

ενώ όταν $z_m = a_m - q + n_m$

$$P_{e3} = Q\left(\frac{A-q}{\sigma}\right) = Q(A-q). \quad (9.17)$$

Εποιητική μέση πιθανότητα σφάλματος θα είναι

$$\begin{aligned} P_e &= \frac{1}{2}P_{e1} + \frac{1}{4}P_{e2} + \frac{1}{4}P_{e3} \\ &= \frac{1}{2}Q(A) + \frac{1}{4}Q(A+q) + \frac{1}{4}Q(A-q). \end{aligned} \quad (9.18)$$

Επειδή το ποσοστό της ISI είναι 10% του μεταδιδόμενου συμβόλου θα ισχύει $\frac{q}{A} = 0.1$ οπότε

$$P_e = \frac{1}{2}Q(A) + \frac{1}{4}Q(1.1A) + \frac{1}{4}Q(0.9A). \quad (9.19)$$

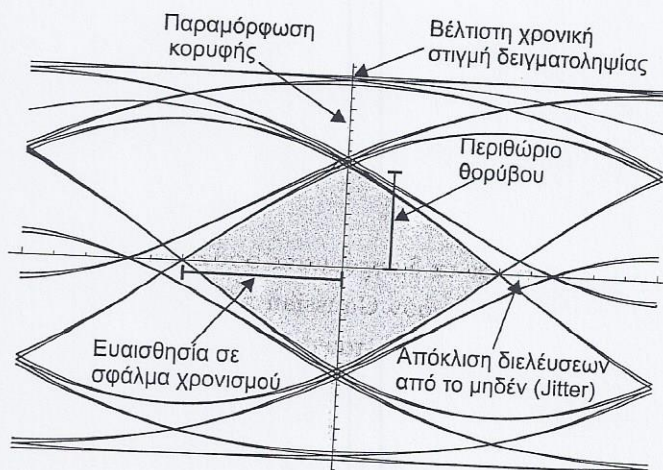
Η συνθήκη που πρέπει να ικανοποιείται είναι $P_e \leq 1.7 \times 10^{-3}$ οπότε

$$\frac{1}{2}Q(A) + \frac{1}{4}Q(1.1A) + \frac{1}{4}Q(0.9A) \leq 1.7 \times 10^{-3}. \quad (9.20)$$

Χρησιμοποιώντας του πίνακες του Παραρτήματος A για τη συνάρτηση $Q(x)$ βρίσκεται ότι η παραπάνω ανισότητα ικανοποιείται μόνο για $A = 3$ και $A = 4$. Επιλέγεται η μικρότερη τιμή ($A = 3$) προκειμένου να κρατηθεί όσο το δυνατό χαμηλότερα η ενέργεια συμβόλου.

Eye-Diagrams / Διάγραμμα Οφθαλμού

- Ποιο χρησιτεί πλατι με "μία είναι" ψηφωντες κι επιτρέπουν την επίδοση συνάρτησης τηγανισμονικών ανοχής.
- Superposition of all pulses on the ~~the~~ screen of an oscilloscope.



Σχήμα 9.7: Διάγραμμα οφθαλμού

ExampleAssume $d=1, b_0 \approx 1$

+3

+1

-1

-3

Threshold levels
at 0, +2, -2

4-PAM

Problems: (ISI & Noise)
(or "useful" phenomena!?)NYQUIST CRITERION FOR ZERO ISI

There are 3 Nyquist criteria.

The first deals with pulse shapes (essentially filters) which result in zero ISI at the sampling instant.

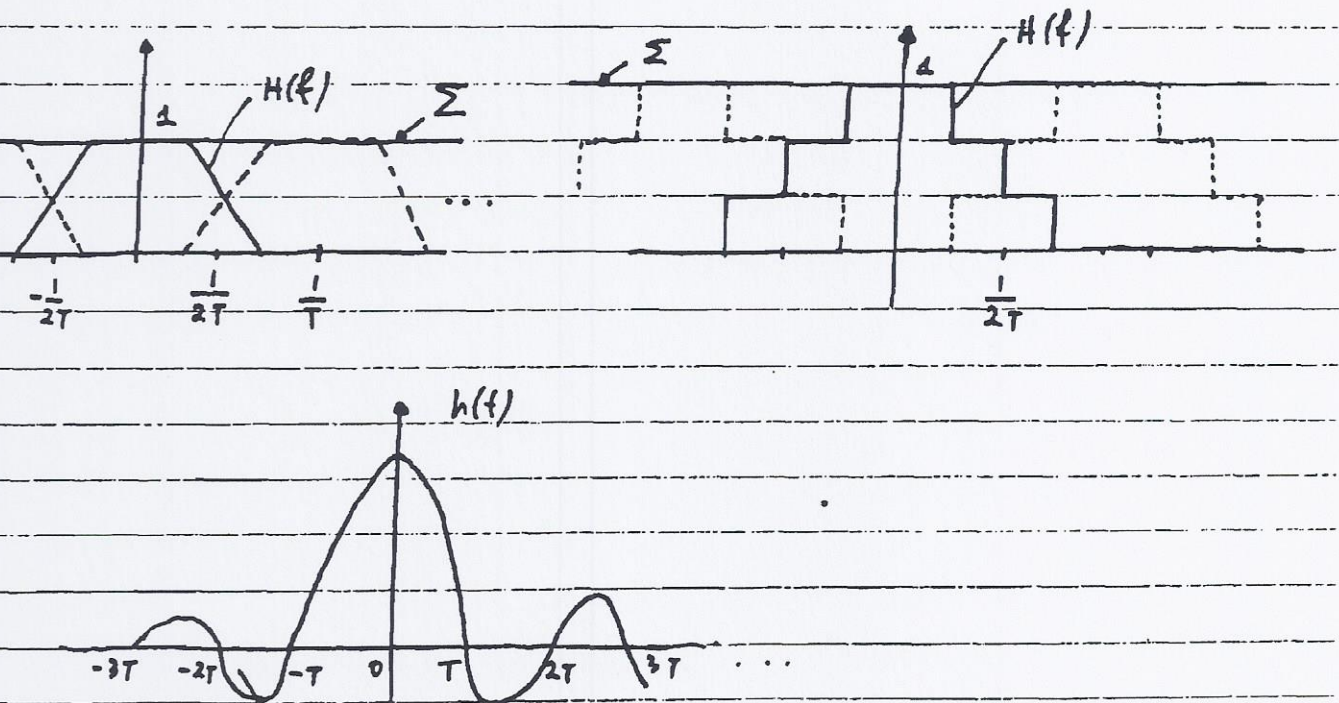
If $\{h(t) = 0 \text{ for } t = nT \text{ } (n \neq 0)\} \Leftrightarrow \{h_n = 0 \text{ for } n \neq 0\}$ $\Leftrightarrow \{h_n = h(nT) = \delta_n\} \Rightarrow y_n = b_n + \tilde{v}_n \text{ (i.e., no ISI)}$ $\therefore \text{For no ISI} \rightarrow \sum_k h(kT) \delta(t-kT) = \delta(t)$ Nyquist
First
Criterion
(SOS)²

$$h(t) \sum_k \delta(t-kT) = \delta(t) \Leftrightarrow \sum_m H(f - \frac{m}{T}) = 1.$$

	Time Domain	Frequency Domain
--	-------------	------------------

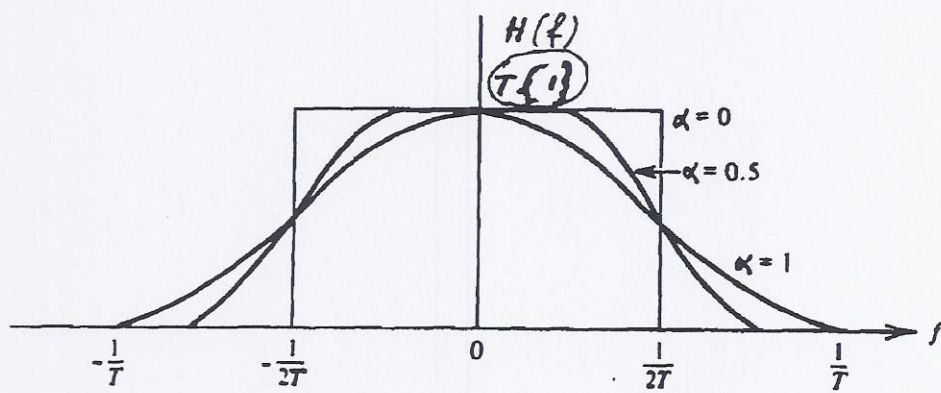
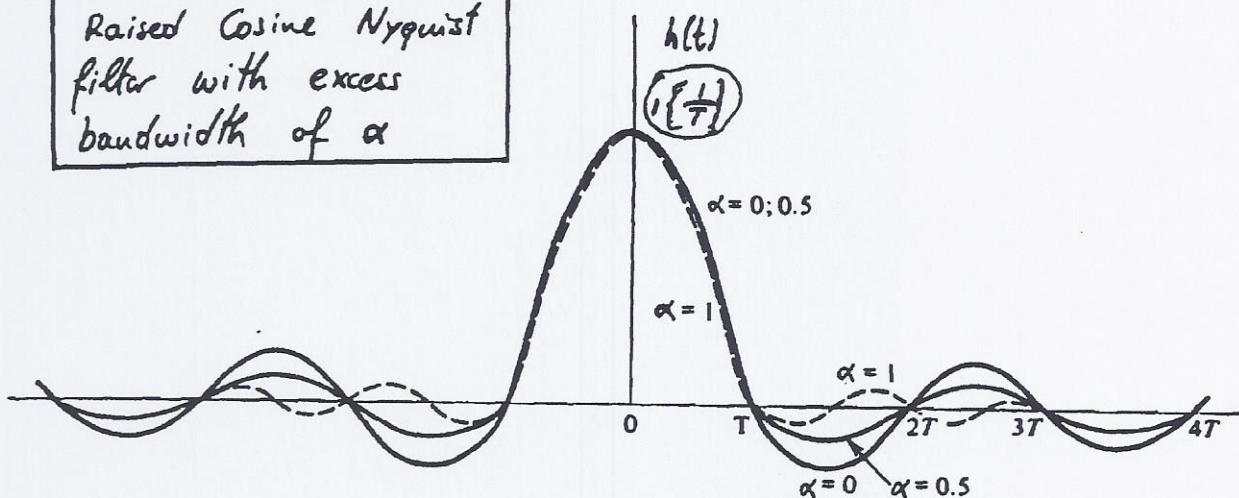
Comments

- ① Impulse response includes Tx-filter, Channel and Rx-filter.
(For the Nyquist it does not matter how they are split.)
- ② In the time domain, we force the overall impulse response $h(t)$ to be zero at all sampling instances (except of course $t=0$).
- ③ In the frequency domain, this is equivalent of having an even symmetry around the Nyquist frequency $f_N = \frac{1}{2T}$



(9-13)

Raised Cosine Nyquist filter with excess bandwidth of α

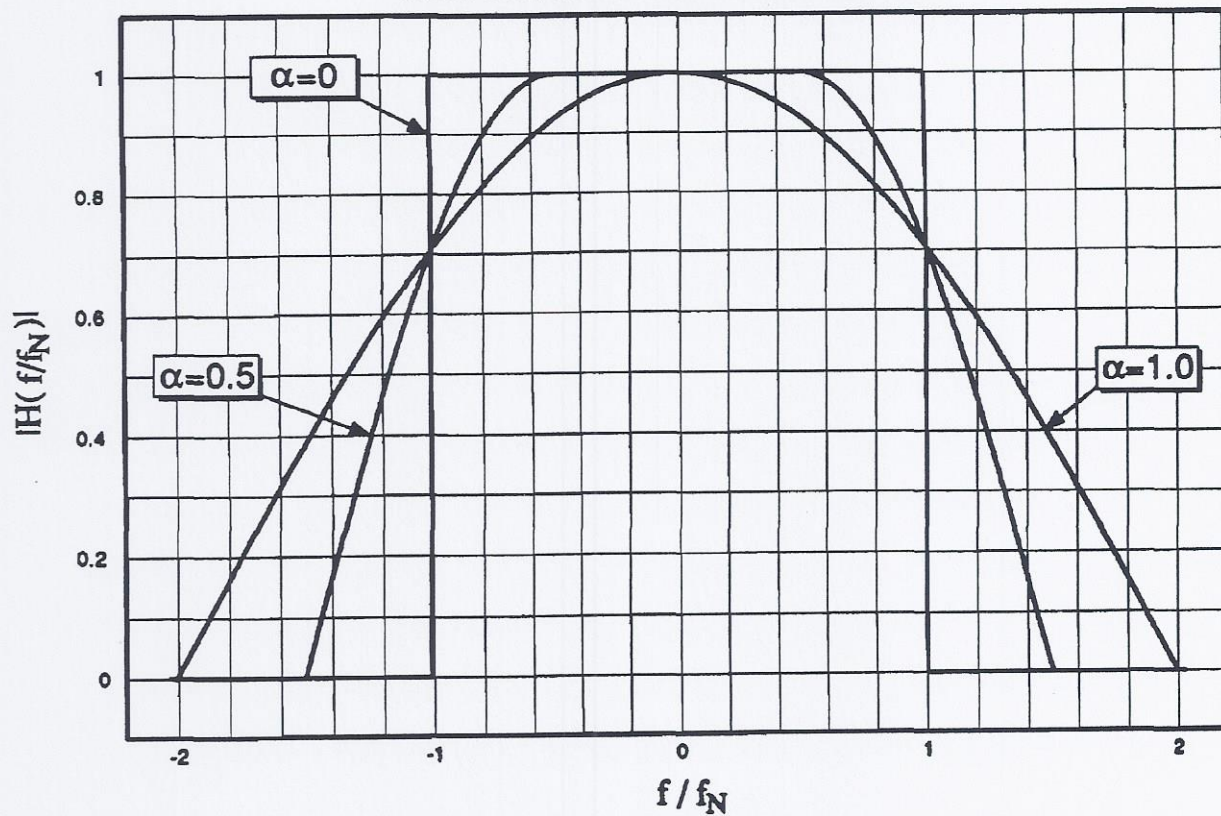


$$H(f) = \begin{cases} 1 & \text{for } 0 \leq f < \frac{1-\alpha}{2T} \\ \cos^2 \left[\frac{\pi T}{2\alpha} \left(f - \frac{1-\alpha}{2T} \right) \right] & \text{for } \frac{1-\alpha}{2T} \leq f < \frac{1+\alpha}{2T} \\ 0 & \text{for } f \geq \frac{1+\alpha}{T} \end{cases}$$

$$h(t) = \frac{\sin(\frac{\pi t}{T})}{\frac{\pi t}{T}} - \frac{\cos(\frac{\alpha \pi t}{T})}{1 - \frac{4\alpha^2 t^2}{T^2}}$$

9-14

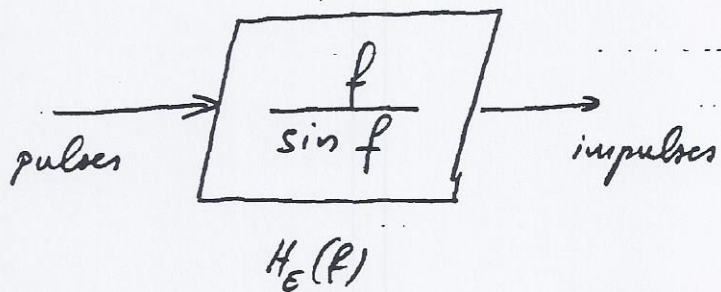
Root of raised-cosine transfer function



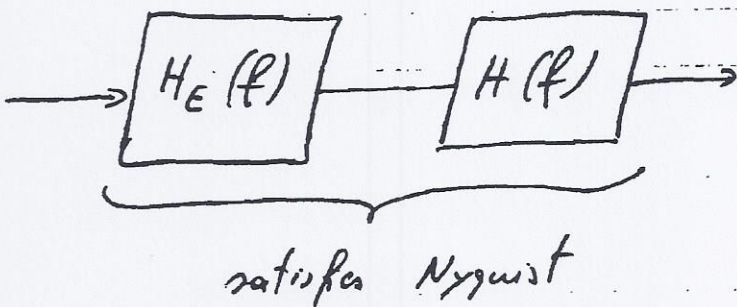
Important Note

The Nyquist filters (or equivalently impulse responses) have been derived assuming impulse transmission.

If we have pulses, which is the case for most practical applications, then we need a filter which transforms the pulses \rightarrow impulses

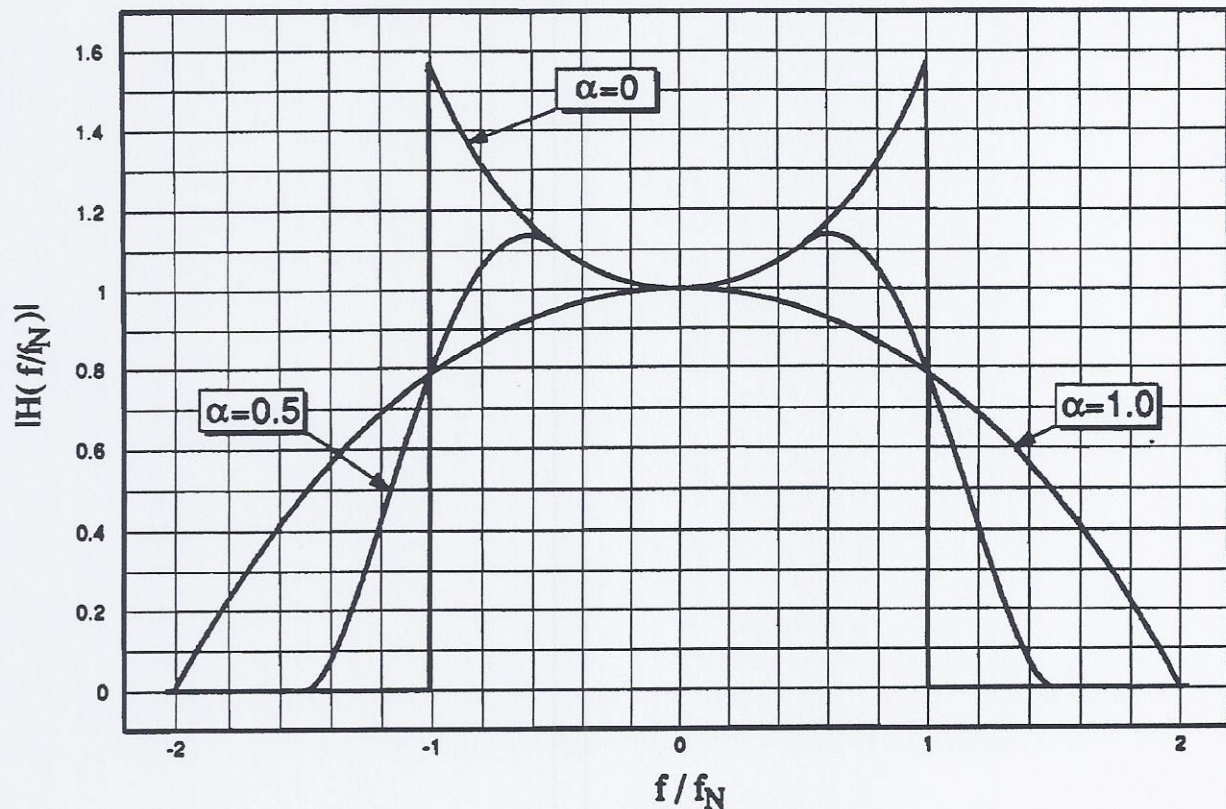


\therefore For pulse transmission:

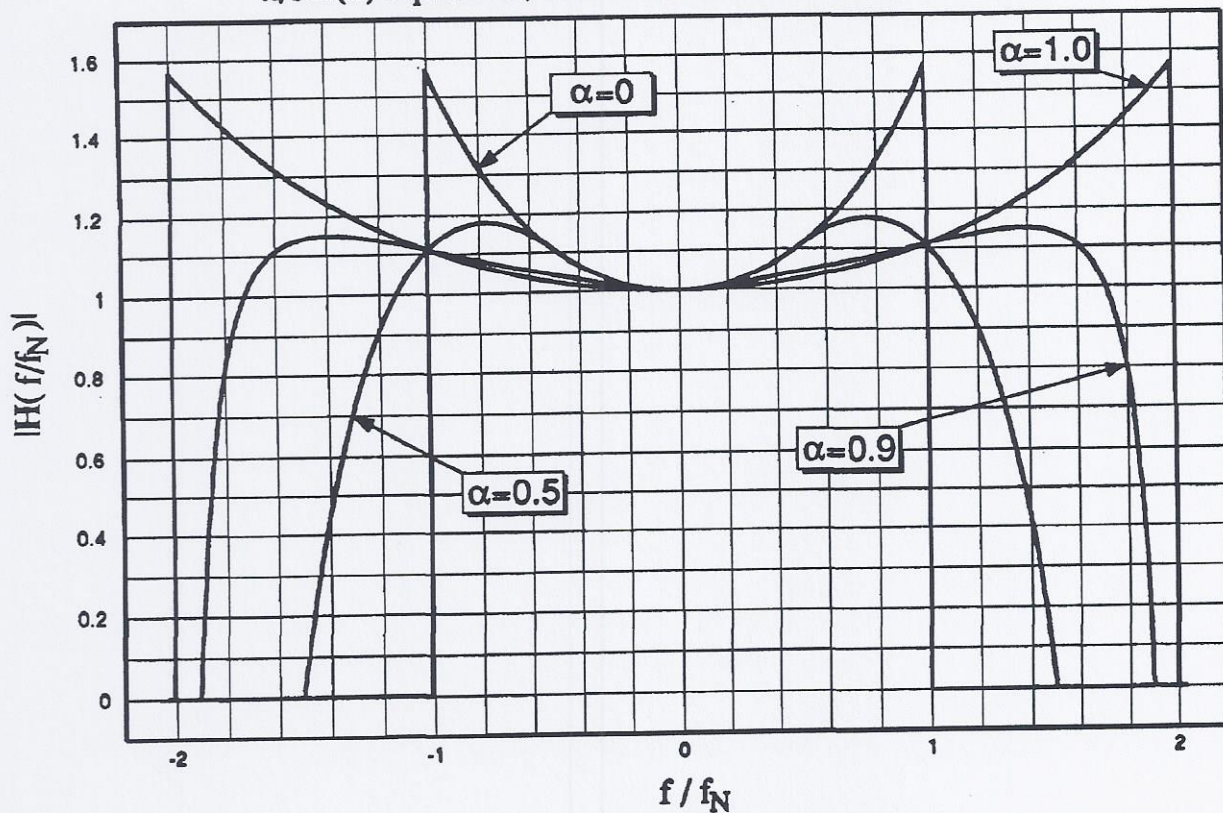


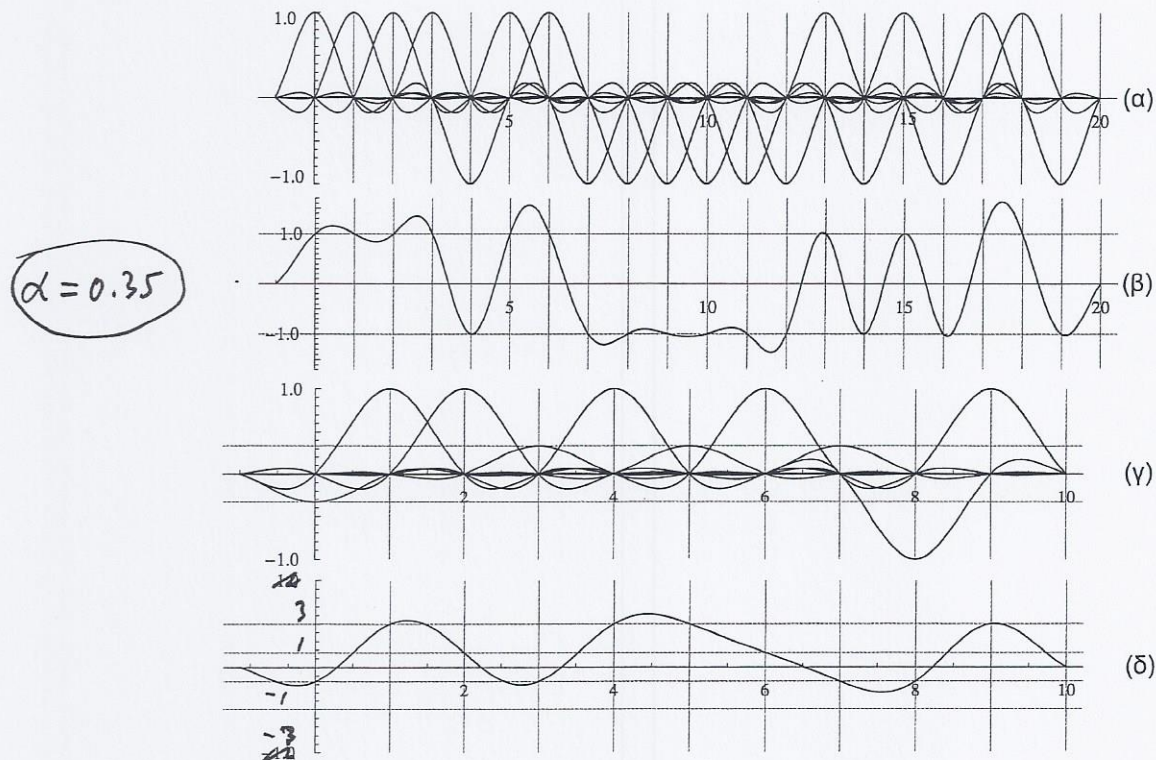
Also linear phase \Rightarrow constant group delay.

9-16

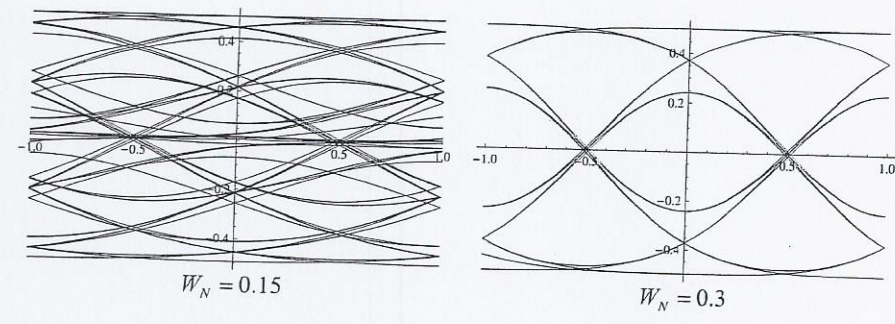
 $x/\sin(x)$ equalized, raised-cosine transfer function

9-17

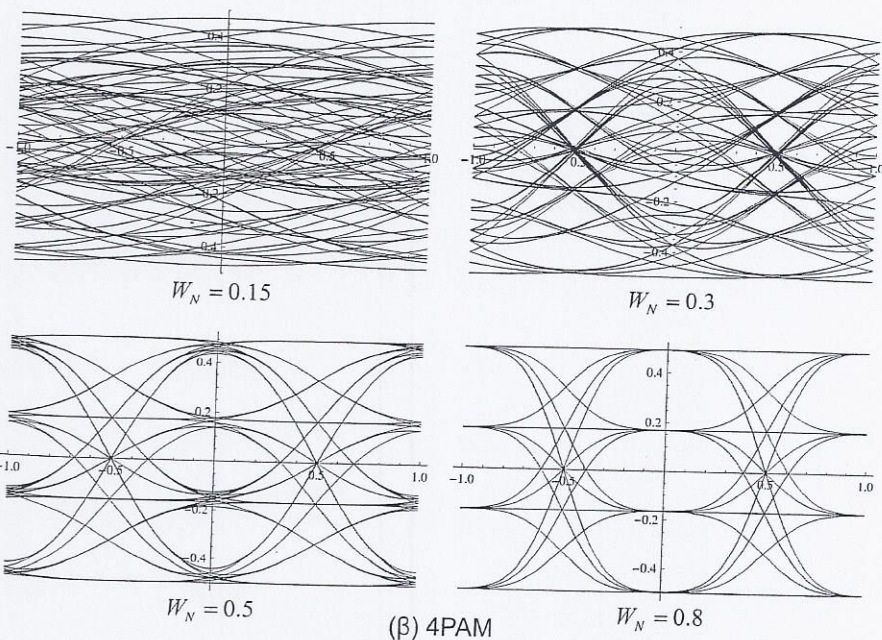
 $x/\sin(x)$ equalized, root of raised-cosine transfer function



Σχήμα 9.10: Ακολουθία bits με παλμούς ανυψωμένου συνημιτόνου



(a) BPAM



(b) 4PAM

$\Sigma \chi \eta \mu \alpha$ 9.8: Διαγράμματα οφθαλμού BPAM και 4PAM με Gaussian παλμούς

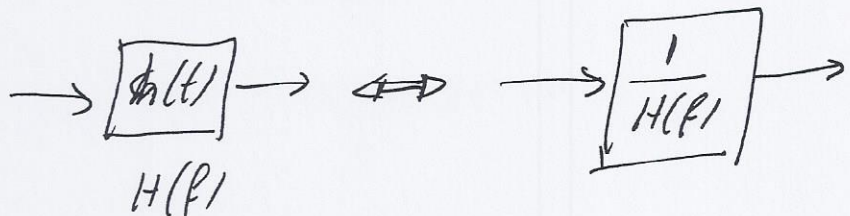
9-20

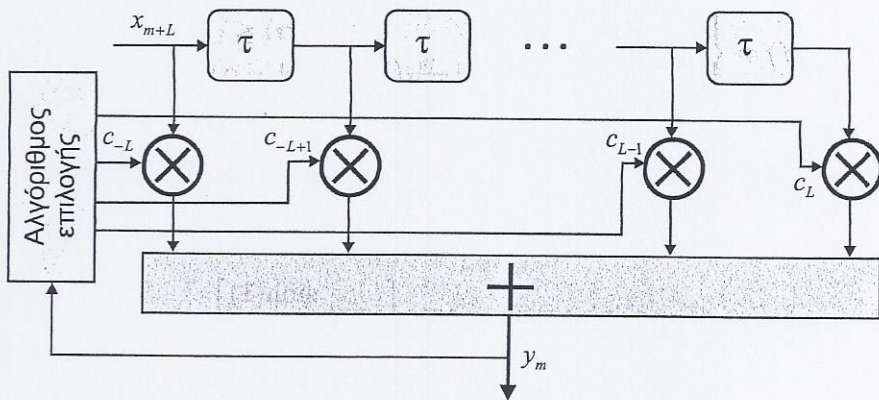
Equalizers - Εξισωτές

- Antipathway της ISI
- "Undo" Channel

- ▷ Γραμμικοί Εξισωτές (Linear Equalizers)
- ▷ Μη-Γραμμικοί Εξισωτές (Non-Linear =)
- ▷ Προσδρομικοί = (Adaptive =)

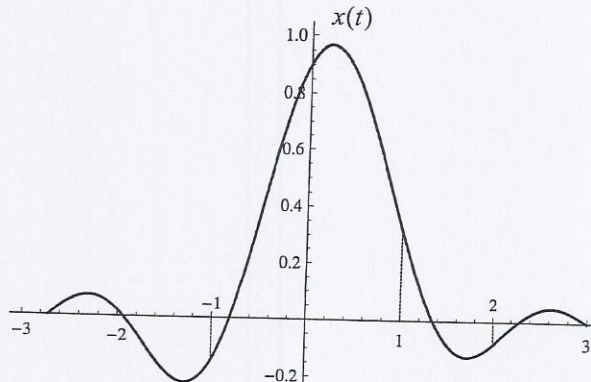
Γραμμικοί Εξισωτές





Σχήμα 9.12: Εγκάρσιο φίλτρο γραμμικού ισοσταθμιστή

- Finite Impulse Response (FIR) filters with $2L+1$ taps.
- Πορνος επελεγει μια πιοτικη συγχρονιση πληκτρ με μικρη διαρυση

Σχήμα 9.13: Υπολογισμός των συντελεστών x_n του καναλιού σε πιλοτικό παλμό ανυψωμένου συνημιτόνου

$$x(-2) = 0.08, \quad x(-1) = -0.18, \quad x(0) = 0.9 \\ x(1) = 0.3, \quad x(2) = -0.09$$

- Το σήμα εξόδου του εγκάρσιου φίλτρου (χωρίς το όρο τ) είναι ένας γραμμικός συνδυασμός των $2L + 1$ δειγμάτων εισόδου $x(mT - n\tau)$ και των σταθερών c_n σύμφωνα με τη σχέση

$$y_m = \sum_{n=-L}^L c_n x(mT - n\tau). \quad (9.32)$$

H (9.32) μπορεί να γραφεί ισοδύναμα υπό μορφή πινάκων ως

$$\mathbf{Y} = \mathbf{X}\mathbf{C} \quad (9.33)$$

και στην περίπτωση $\tau = T$

$$\mathbf{Y} = \begin{bmatrix} y_{-L} \\ \vdots \\ y_0 \\ \vdots \\ y_L \end{bmatrix}, \quad \mathbf{C} = \begin{bmatrix} c_{-L} \\ \vdots \\ c_0 \\ \vdots \\ c_L \end{bmatrix}, \quad \mathbf{X} = \begin{bmatrix} x_0 & x_{-1} & \cdots & x_{-2L} \\ x_1 & x_0 & \cdots & x_{-2L+1} \\ \vdots & \vdots & \vdots & \vdots \\ x_{2L} & x_{2L-1} & \cdots & x_0. \end{bmatrix}. \quad (9.34)$$

Στην (9.34) το \mathbf{Y} έχει διάσταση $2L+1$, οπότε ο πίνακας \mathbf{X} είναι τετραγωνικός με διάσταση $(2L+1) \times (2L+1)$. Εποιητικά του διανύσματος \mathbf{C} μπορούν να βρεθούν επιλύοντας την (9.33) ως

$$\mathbf{C} = \mathbf{X}^{-1}\mathbf{Y}. \quad (9.35)$$

Στη συνέχεια παρουσιάζεται η χρησιμοποίηση του εγκάρσιου φίλτρου για τη σχεδίαση διαφόρων τύπων ισοσταθμιστών.

Zero - Forcing Equalizer (Ισοσταθμιστής επιβολής μηδενισμάτων)

Ο ισοσταθμιστής επιβολής μηδενισμών zero-forcing (ZF) προκύπτει αν επιβληθεί η συνθήκη του Nyquist στην έξοδο του αντίστροφου φίλτρου. Δηλαδή

$$y_m = \begin{cases} 1, & m = 0 \\ 0, & \text{αλλού.} \end{cases} \quad (9.36)$$

Τότε το διάνυσμα \mathbf{Y} (με διάσταση $2L + 1$) θα είναι

$$\mathbf{Y} = [0 \dots 1 \dots 0]^T \quad (9.37)$$

και οι συντελεστές c_n υπολογίζονται από τη σχέση

$$\begin{bmatrix} c_{-L} \\ \vdots \\ c_0 \\ \vdots \\ c_L \end{bmatrix} = \begin{bmatrix} x_0 & x_{-1} & \cdots & x_{-2L} \\ x_1 & x_0 & \cdots & x_{-2L+1} \\ \vdots & \vdots & \vdots & \vdots \\ x_{2L} & x_{2L-1} & \cdots & x_0 \end{bmatrix}^{-1} \begin{bmatrix} 0 \\ \vdots \\ 1 \\ \vdots \\ 0 \end{bmatrix}. \quad (9.38)$$

Για τον ισοσταθμιστή ZF ισχύουν τα εξής:

- Χρησιμοποιείται αποκλειστικά για την καταπολέμηση της διασυμβολικής παρεμβολής και της παραμόρφωσης που προκαλεί αυτή στον εκπεμπόμενο παλμό. Αυτό που επιτυγχάνει είναι η αποκατάσταση της μορφής του παλμού, με την επιβολή μηδενισμών στα σημεία δειγματοληψίας τα οποία εξαιτίας της παραμόρφωσης του παλμού λαμβάνονται μη-μηδενικά (Σχήμα 9.14).
- Στην πράξη δεν καταργεί εντελώς την ISI. Αν όμως $L \rightarrow \infty$ τότε θεωρητικά η ISI εξαλείφεται πλήρως.
- Δε λαμβάνει υπόψη τον προσθετικό θόρυβο. Αυτό έχει σαν συνέπεια να παρουσιάζει κακές επιδόσεις όσον αφορά την πιθανότητα σφάλματος σε περιβάλλον ισχυρού θορύβου.

Παράδειγμα 9.5

Οι συντελεστές του ισοδύναμου FIR φίλτρου του καναλιού σε τηλεπικοινωνιακό σύστημα μετρήθηκαν και βρέθηκαν

9-24

$$\{x_{-3}, x_{-2}, x_{-1}, x_0, x_1, x_2, x_3\} = \{0.1, 0.3, -0.2, 1.0, 0.4, -0.1, 0.1\}. \quad (9.39)$$

Οι συντελεστές αυτοί χρησιμοποιούνται από έναν ισοσταθμιστή ZF symbol-spaced με τρία taps, ο οποίος επιβάλλει μηδενική ISI στις γειτονικές του κυρίως λοβούς στιγμές δειγματοληψίας.

Να υπολογιστούν οι σταθερές c_n του ισοσταθμιστή και η ISI που παραμένει μετά την ισοστάθμιση.

Απάντηση

Οι συντελεστές c_n υπολογίζονται από τη σχέση (9.38) ως

$$\begin{aligned} \begin{bmatrix} c_{-1} \\ c_0 \\ c_1 \end{bmatrix} &= \begin{bmatrix} x_0 & x_{-1} & x_{-2} \\ x_1 & x_0 & x_{-1} \\ x_2 & x_1 & x_0 \end{bmatrix}^{-1} \begin{bmatrix} 0 \\ 1 \\ 0 \end{bmatrix} \\ &= \begin{bmatrix} 1 & -0.2 & 0.3 \\ 0.4 & 1 & -0.2 \\ -0.1 & 0.4 & 1 \end{bmatrix}^{-1} \begin{bmatrix} 0 \\ 1 \\ 0 \end{bmatrix} \quad (9.40) \\ &= \begin{bmatrix} 0.875 & 0.259 & -0.21 \\ -0.307 & 0.834 & 0.259 \\ 0.21 & -0.307 & 0.875 \end{bmatrix} \begin{bmatrix} 0 \\ 1 \\ 0 \end{bmatrix} = \begin{bmatrix} 0.259 \\ 0.834 \\ -0.307 \end{bmatrix} \end{aligned}$$

Από τη σχέση (9.32), η οποία γράφεται εδώ (με $L = 1$ και $\tau = T$) ως

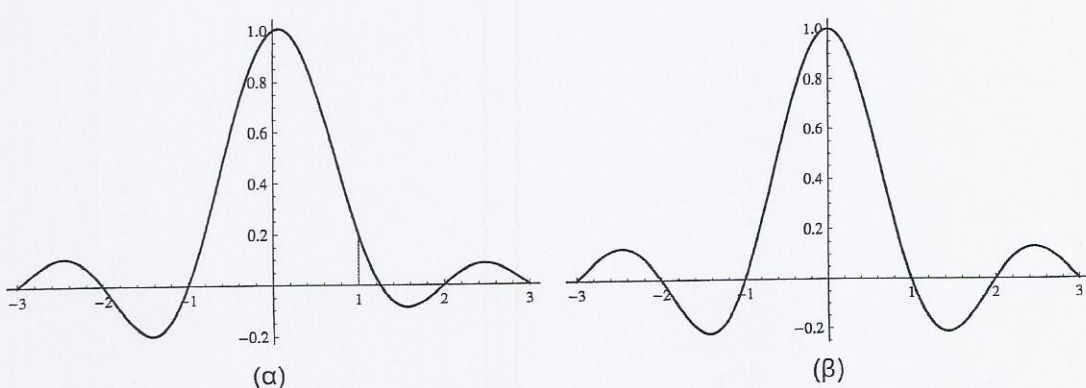
$$y_m = \sum_{n=-1}^1 c_n x(mT - nT) \quad (9.41)$$

μπορούν να υπολογιστούν οι δειγματοληπτημένες τιμές (για τις χρονικές στιγμές $m = 0, \pm 1, \pm 2, \dots, \pm L$) στην έξοδο του ισοσταθμιστή

$$\begin{aligned} y_{-3} &= 0.1613, y_{-2} = 0.1678, y_{-1} = 0, y_0 = 1 \\ y_1 &= 0, y_2 = -0.1807, y_3 = 0.1143. \end{aligned} \quad (9.42)$$

Έτσι ο ισοσταθμιστής έχει σαν αποτέλεσμα το μηδενισμό της ISI στα γειτονικά αλλά αυτή συνεχίζει να παραμένει στα απομακρυσμένα σύμβολα.

Αν το μήκος του ισοσταθμιστή ήταν μεγαλύτερο από τρία taps τότε περισσότερα σημεία δειγματοληψίας θα είχαν μηδενική τιμή ISI.



Σχήμα 9.14: (α) Λαμβανόμενος παλμός RC με παραμόρφωση (β) Αποκατάσταση του παλμού μετά την ισοστάθμιση ZF

Minimum Mean Square Error (MMSE) Estimator

Ποσοτικής Επίχειρης Μέσων Τετραγωνικών Εφαρμογών

- Πιο ακαριαίος καλούς ήδη βέβαια υπόγειος ου στιτωρική των και την αρμόδια δορυφορική.
- Οι c_n εννισχύονται στοιχείων της εξισώσουνται με MMSE όμως των ρημάτων ISI & Doppler ουν σημείο των προστατευτικών.

$$q_m = \sum_{n=-L}^L c_n z(mT-nT) \quad \left[\begin{array}{l} z(t) = \sum_n a_n x(n-nT) \\ + n(t) \end{array} \right]$$

$$MSE = E\{|q_m - a_m|^2\}$$

Αναδεικνύεται ότι ο υπολογισμός των c_n δημ. των διανυότερος

$$C = R_{xx}^{-1} R_{xy}$$

$$R_{xx} = X^T X \quad \text{minimizes autocorrelation (autocorrelation matrix)}$$

$$R_{xy} = X^T Y \quad \text{minimizes cross-correlation (cross-correlation matrix)}$$

Mn - Γραμμικοί λοοπληρωτοί

λοοπληρωτοί παράγοντες ανορθωτικός (Decision Feedback equalization)

$$\hat{z}_m = c_m x_0 + \sum_{n=-\infty}^{\infty} a_n x_{m-n} + n_m$$

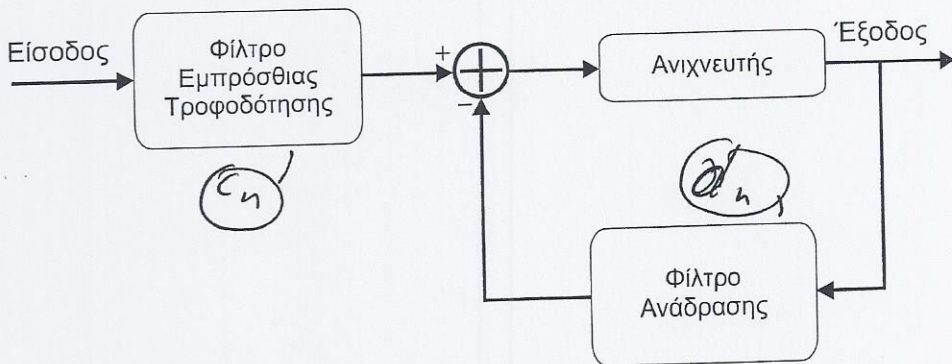
$n \neq m$

Αν γυρίζεται το a_n ($\mu c n \neq m$) \Rightarrow ISI cancellation

$$\Rightarrow \hat{z}_m = z_m - \sum_{n=-\infty}^{\infty} a_n x_{m-n}$$

$n \neq m$

No ISI but only noise.

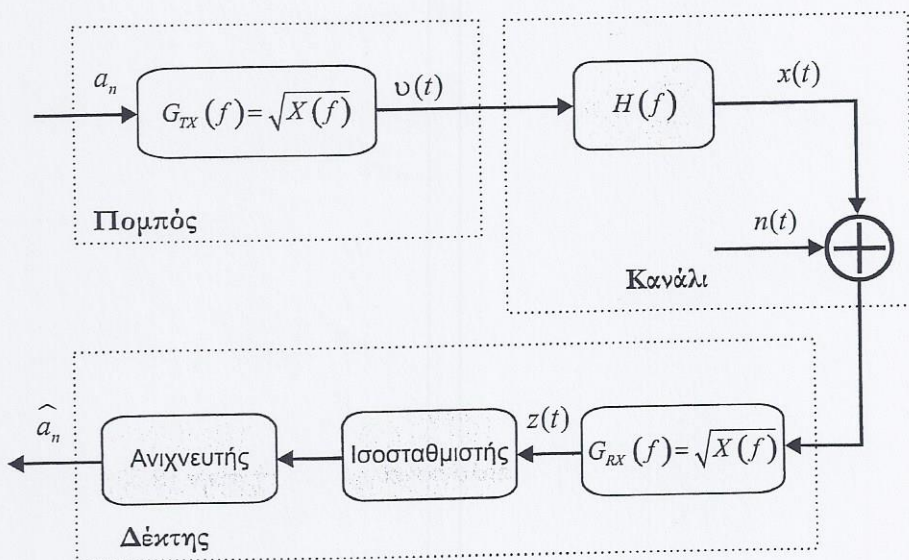


Σχήμα 9.15: Ισοσταθμιστής ανάδρασης απόφασης

$$\hat{z}_m = \sum_{n=1}^{Q_1} c_n z_{m-n} - \sum_{n=1}^{Q_2} a_n \hat{a}_{m-n}$$

9-27

How to split the Nyquist filter
between Transmitter & Receiver.



Σχήμα 9.17: Φίλτρα εκπομπής και λήψης σε ψηφιακό τηλεπικοινωνιακό σύστημα